

FIG. 1A

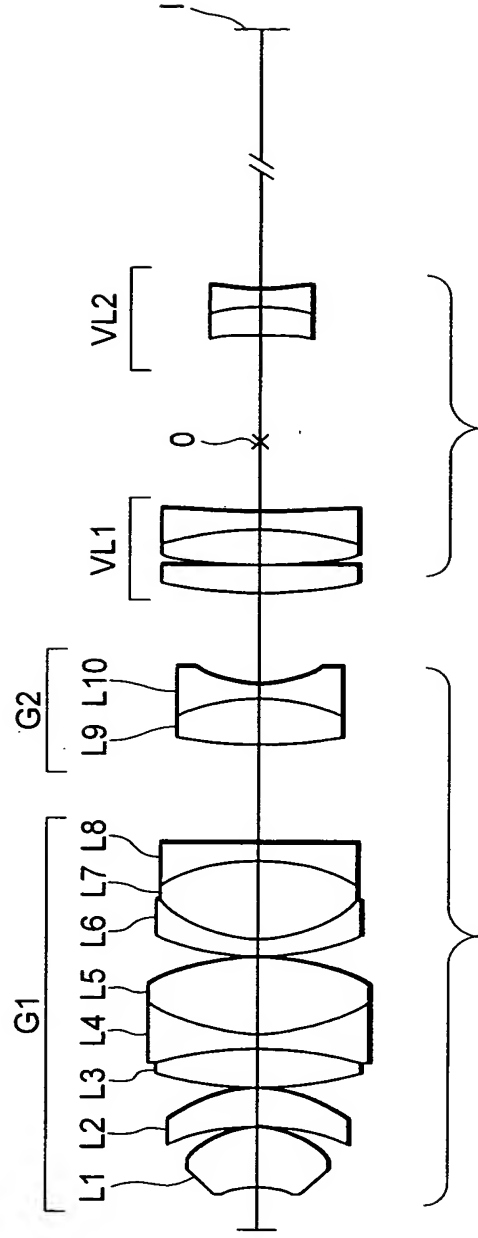


FIG. 1B

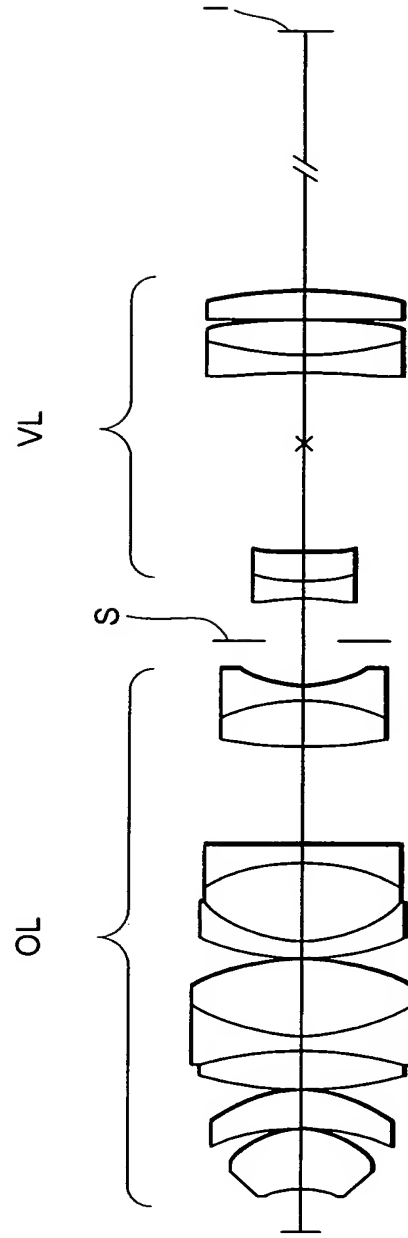


FIG. 2

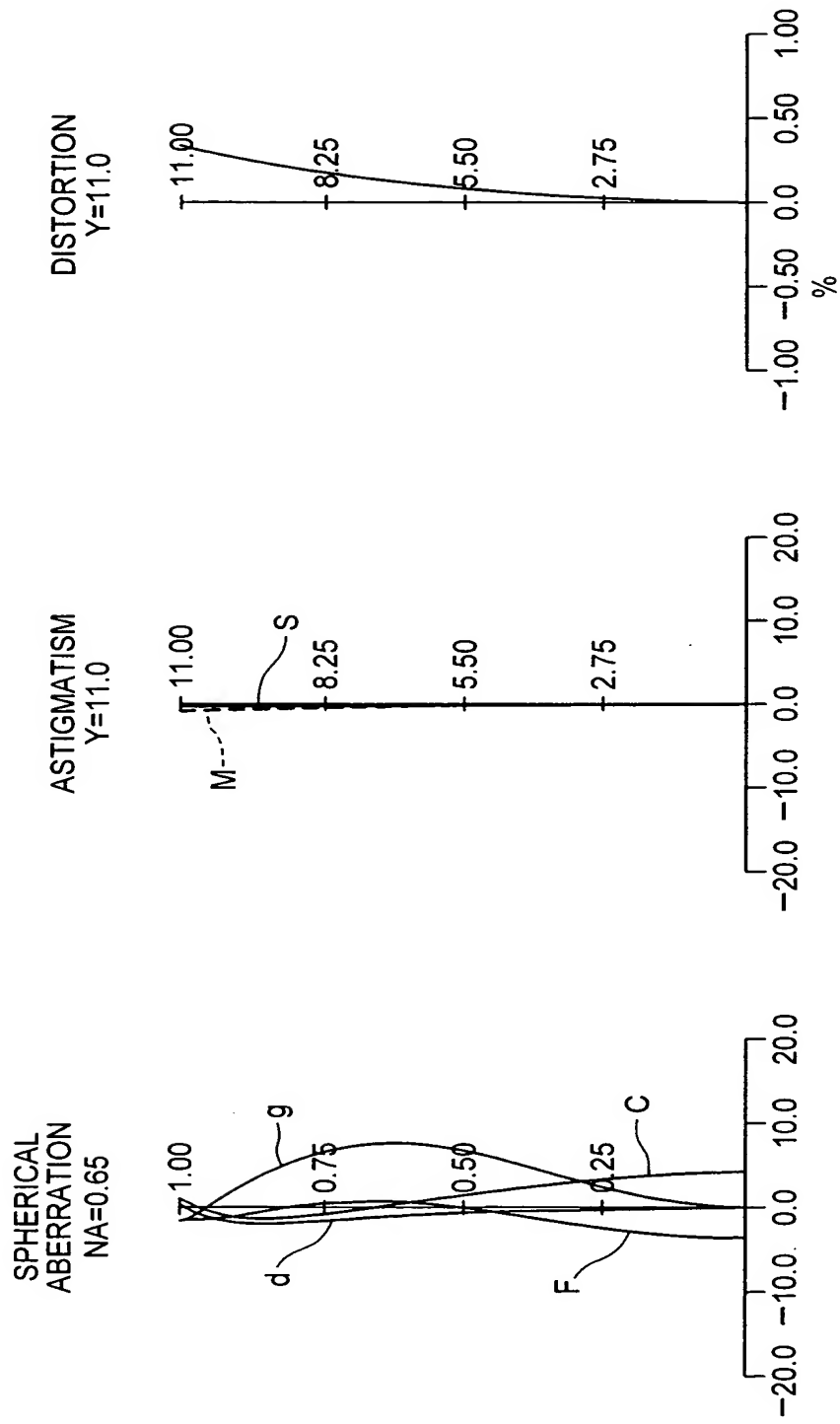
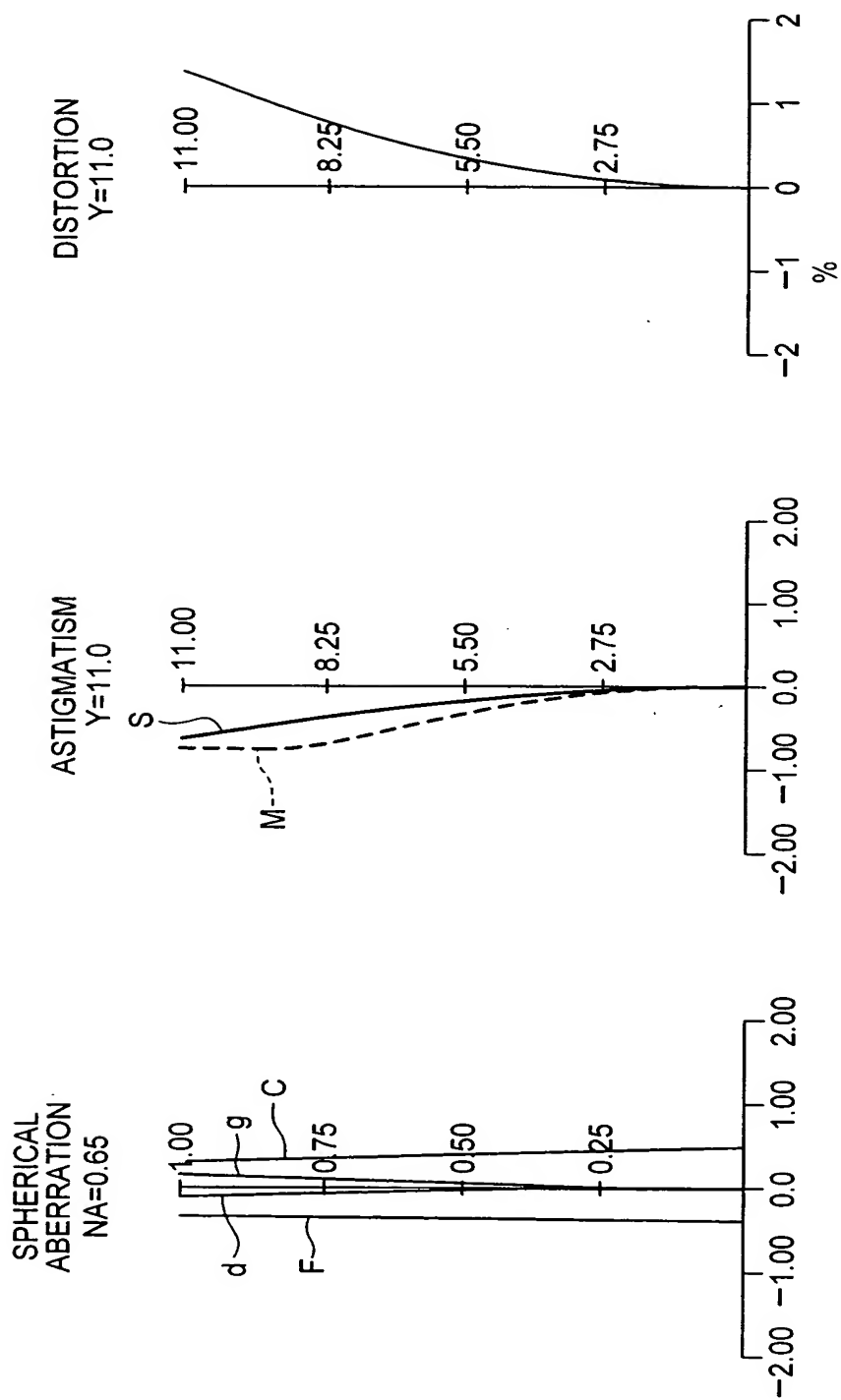


FIG. 3



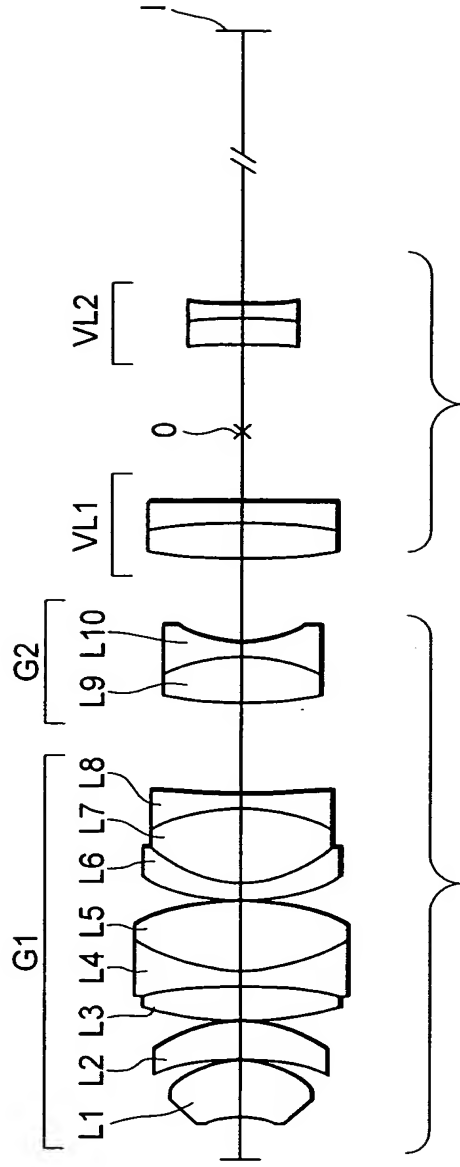


FIG. 4A

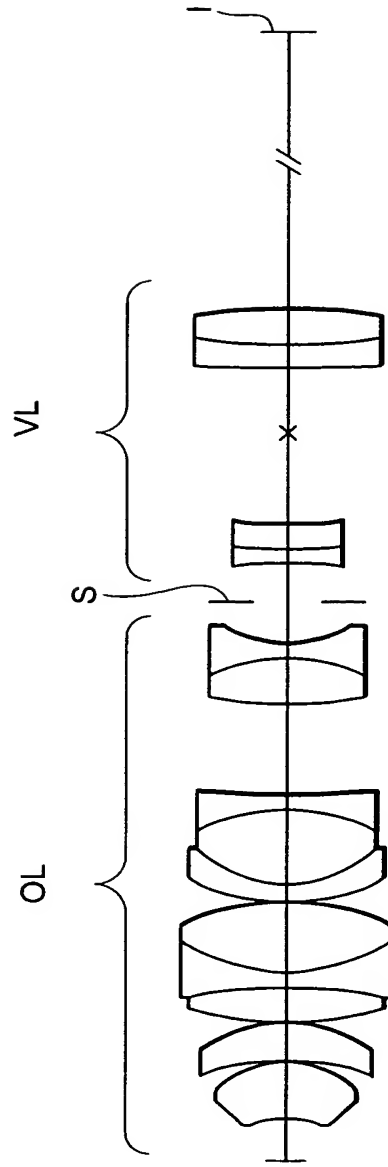


FIG. 4B

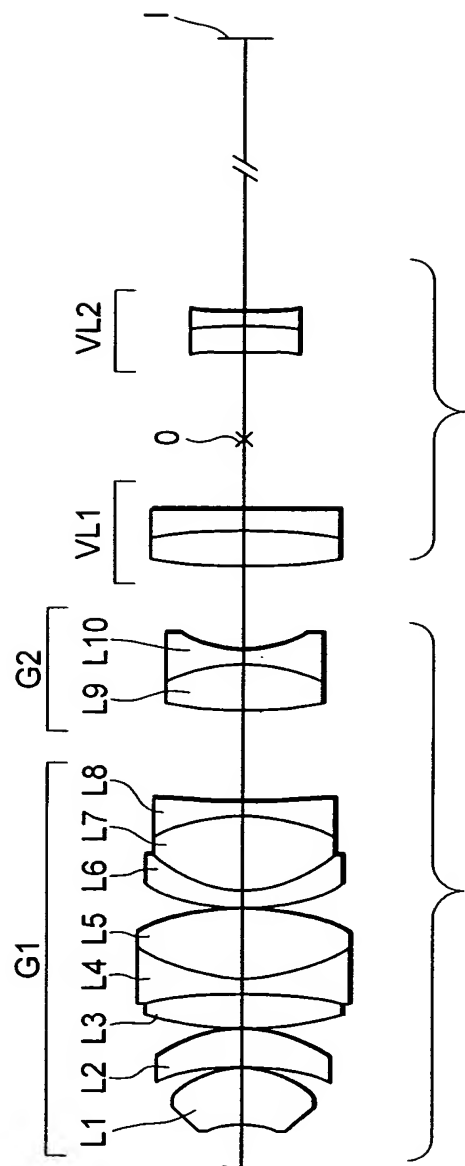


FIG. 5A

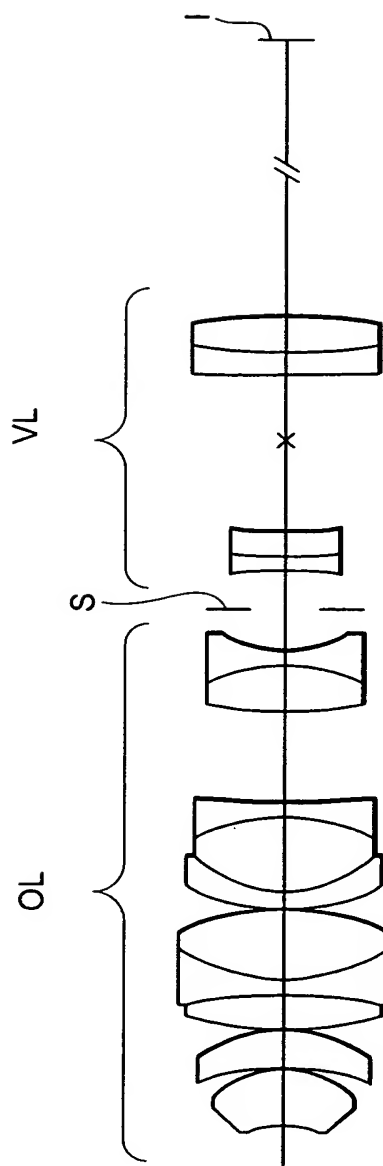


FIG. 5B

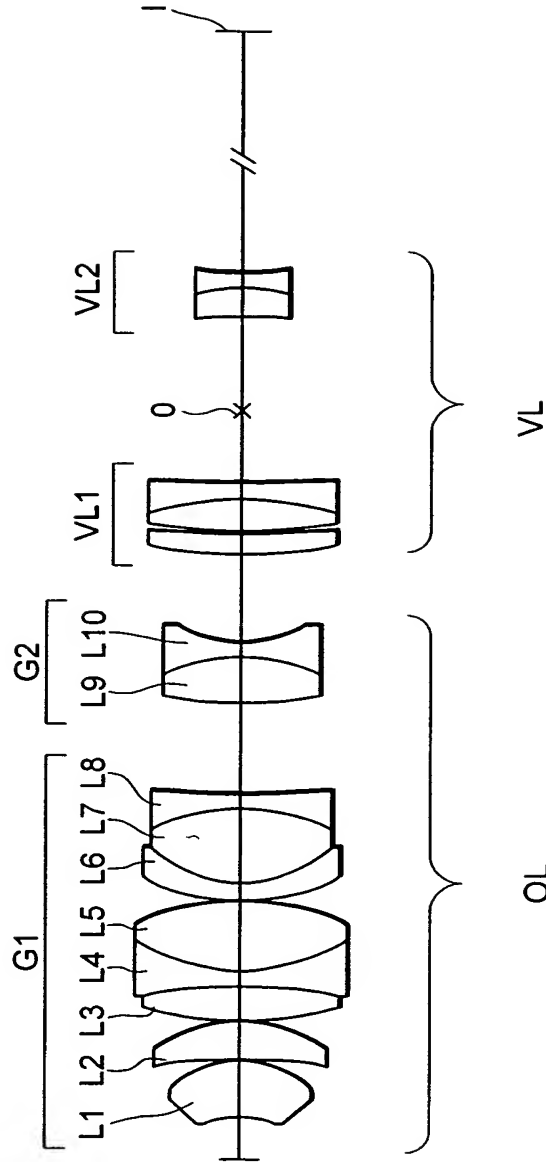


FIG. 6A

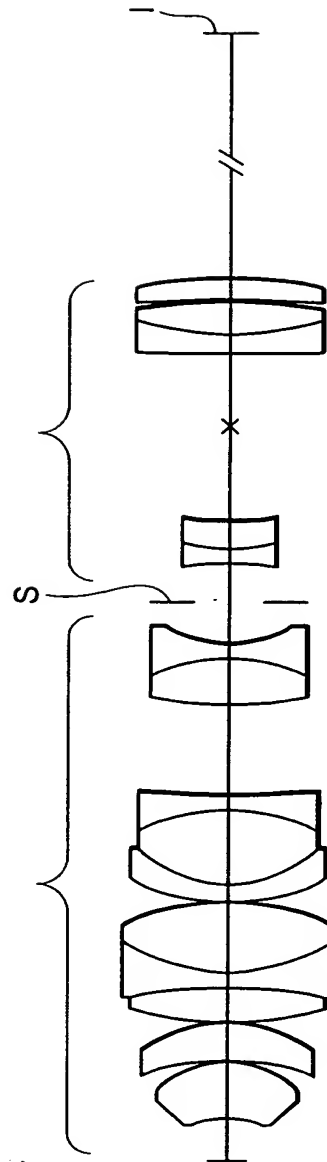


FIG. 6B

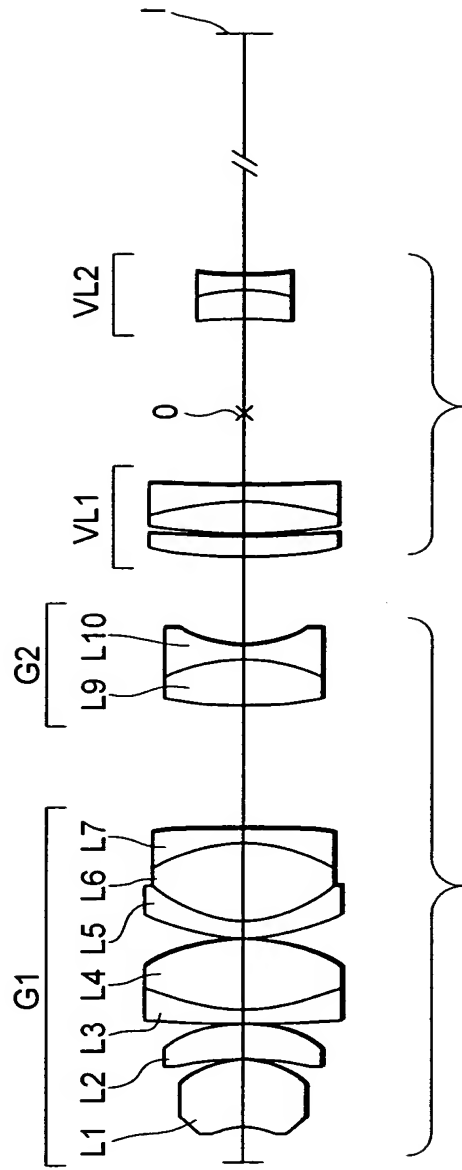


FIG. 7A

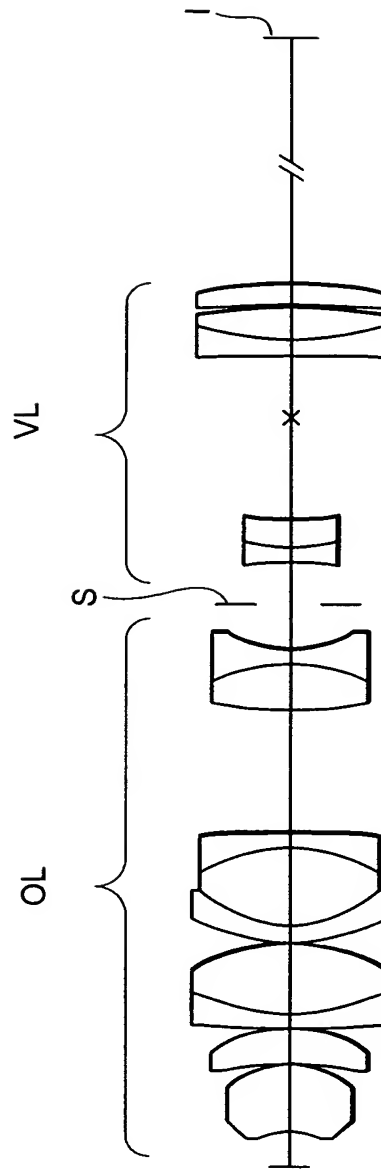


FIG. 7B

FIG. 8A

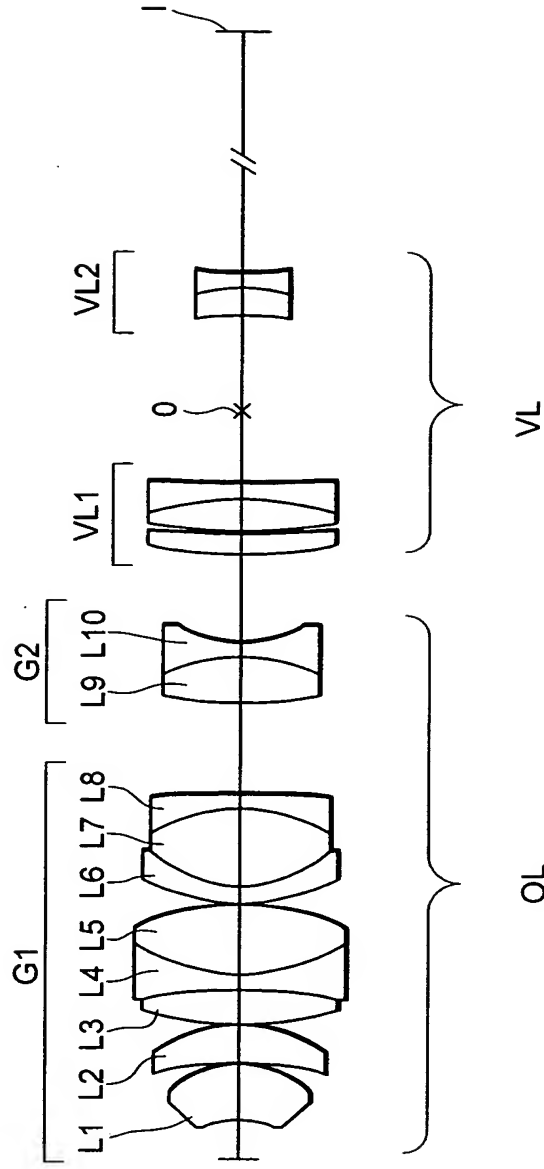


FIG. 8B

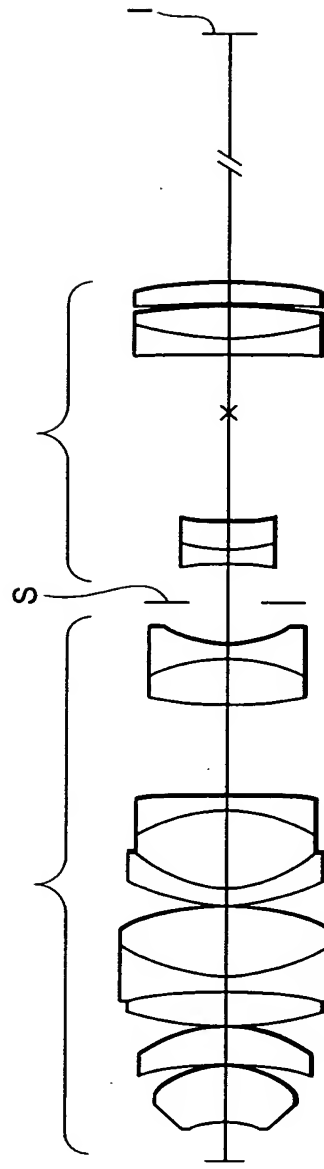


FIG. 9

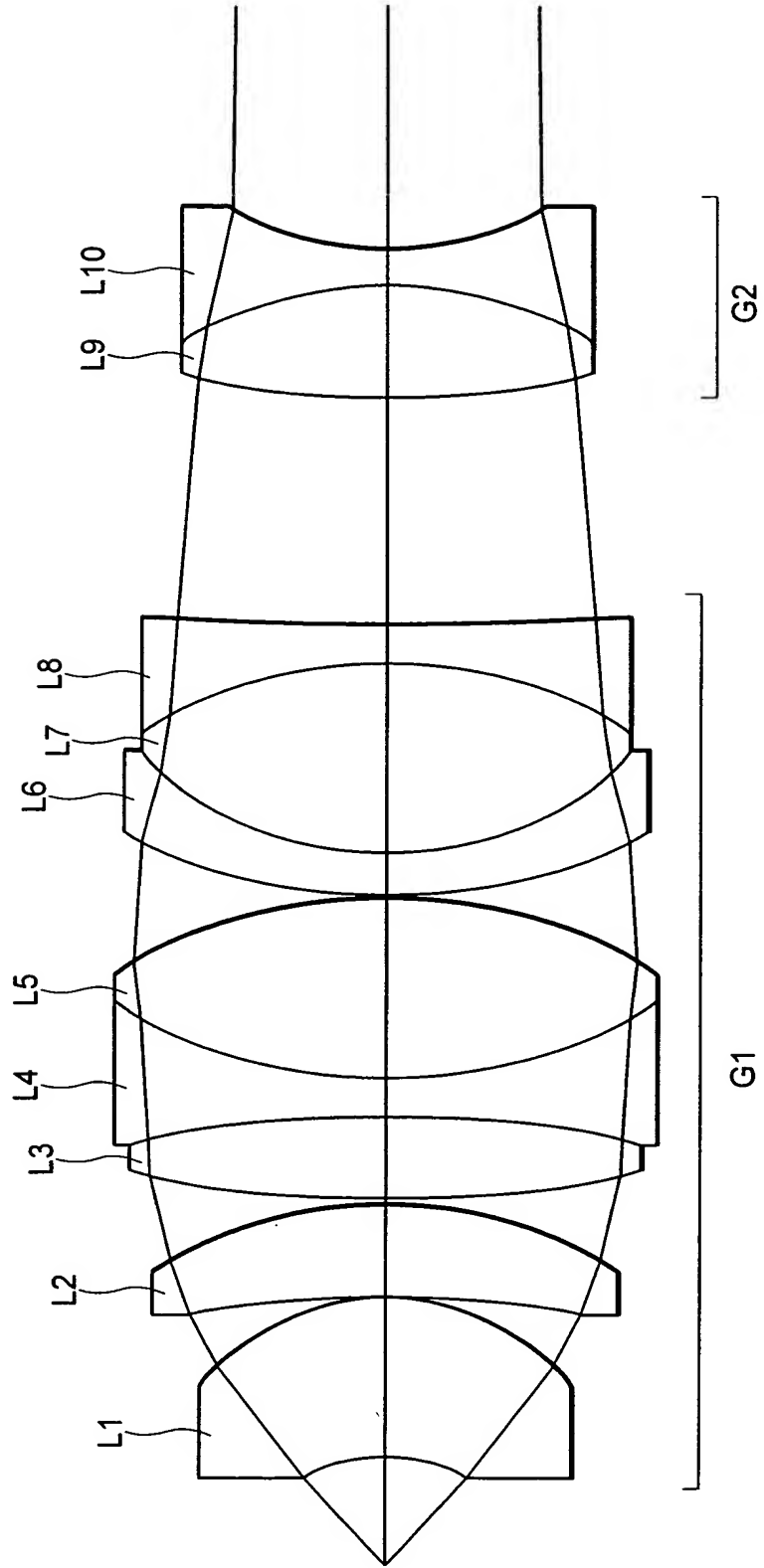


FIG. 10

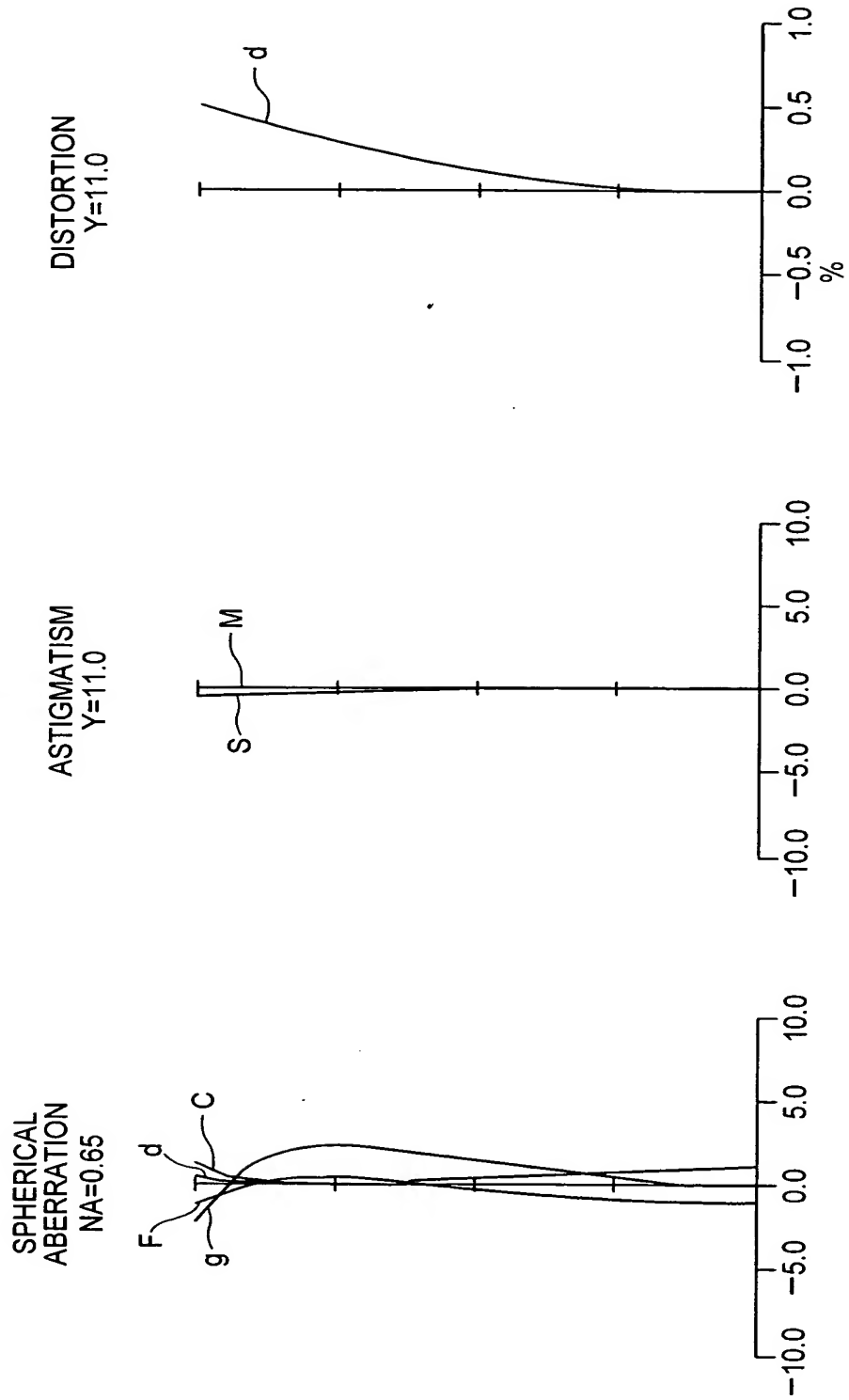


FIG. 11

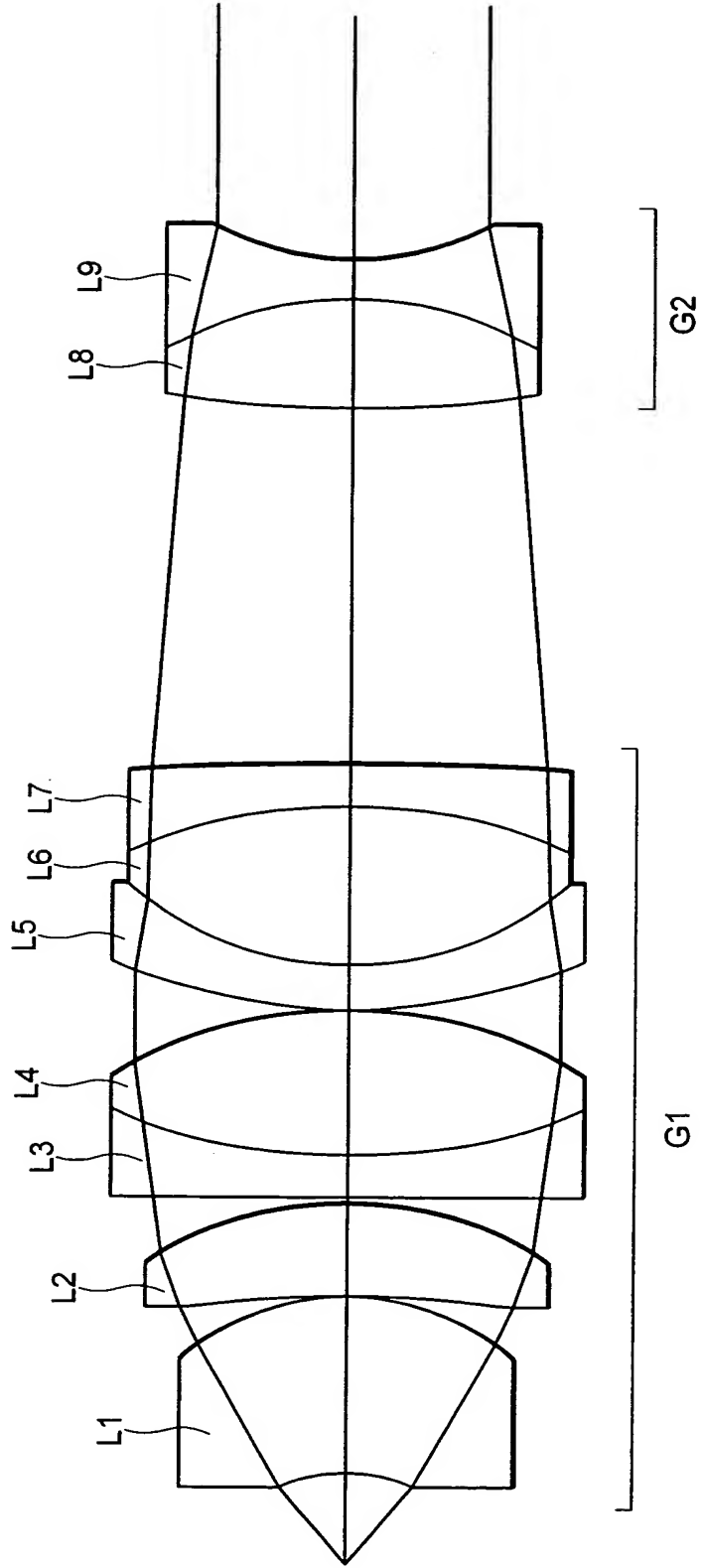


FIG. 12

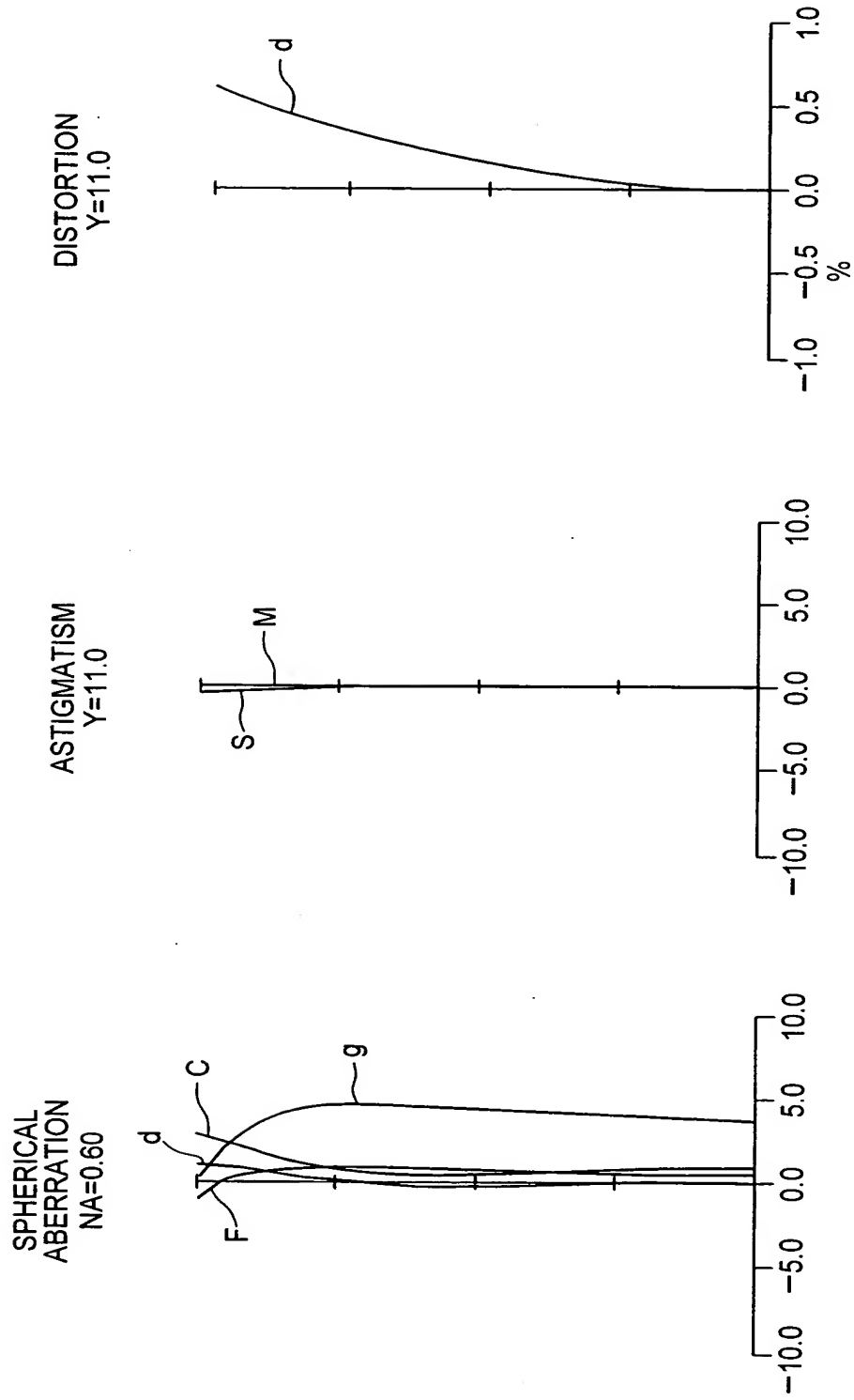


FIG. 13

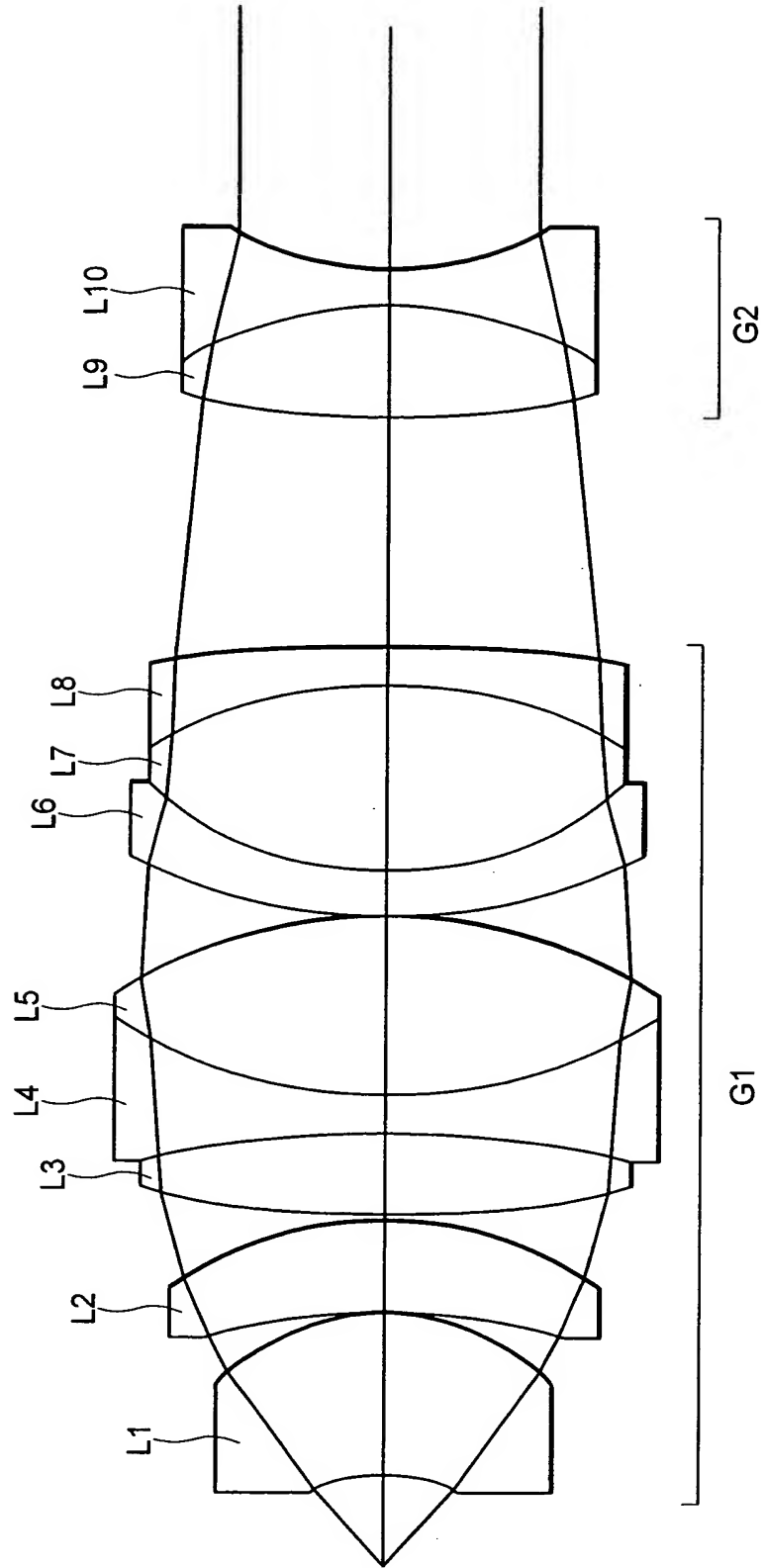
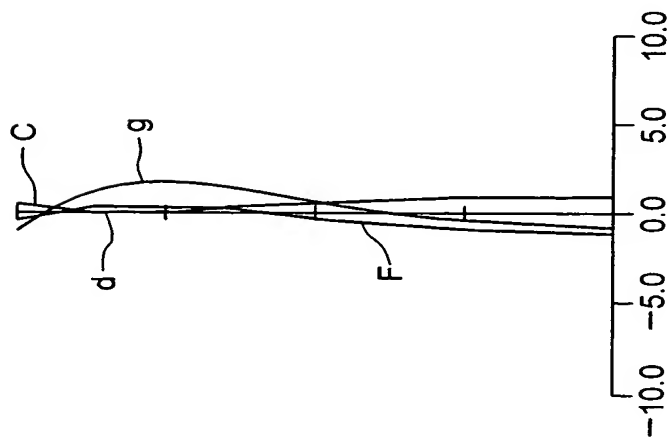
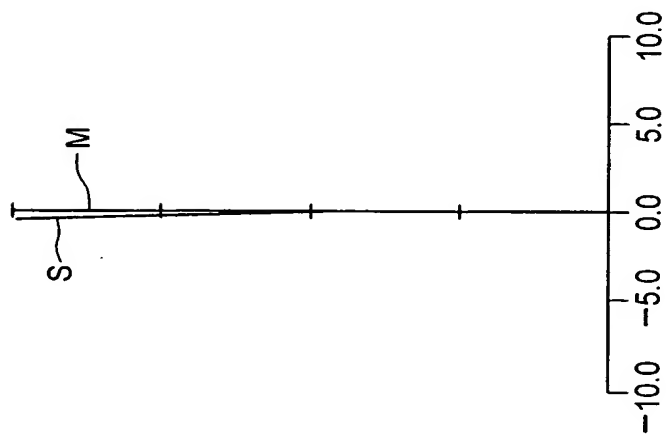


FIG. 14

SPHERICAL
ABERRATION
NA=0.65



ASTIGMATISM
Y=11.0



DISTORTION
Y=11.0

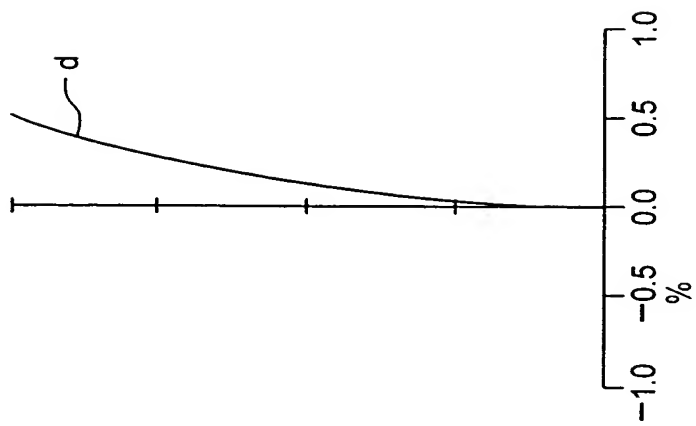


FIG. 15

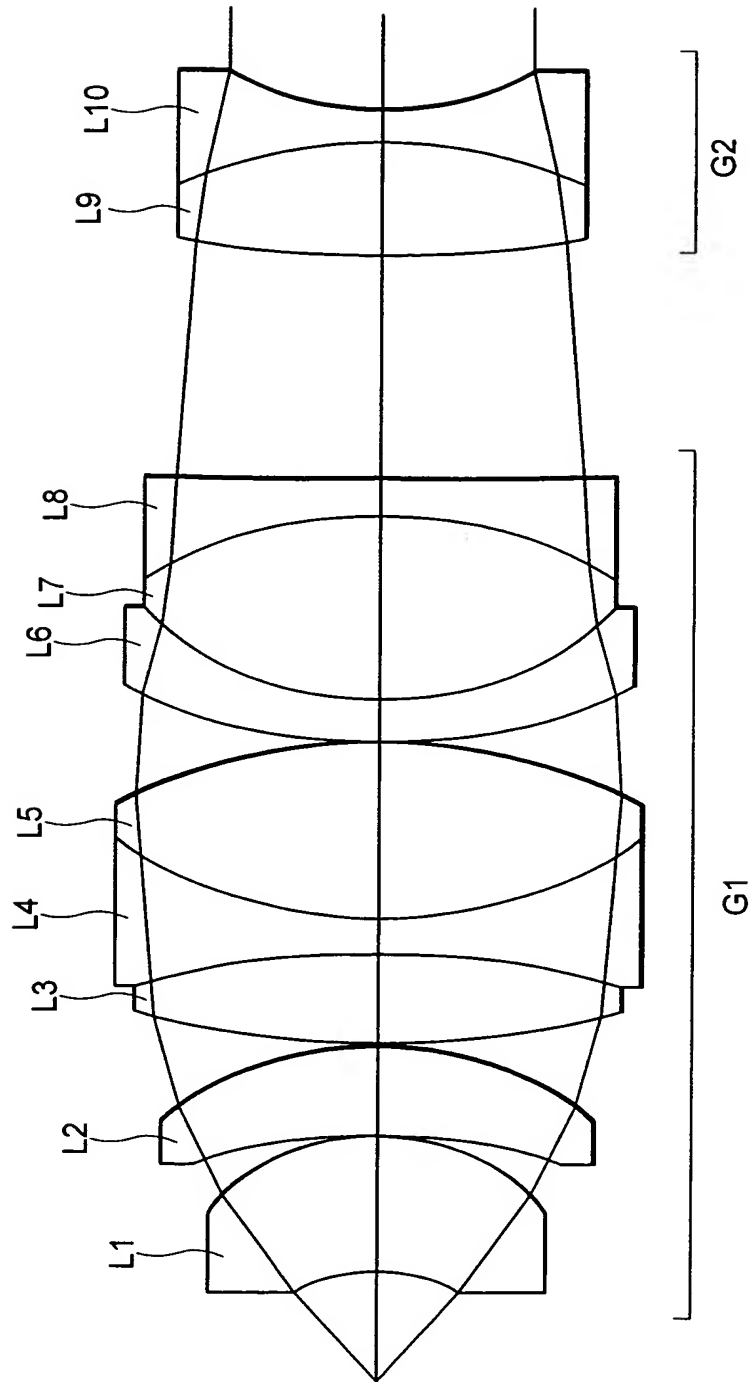
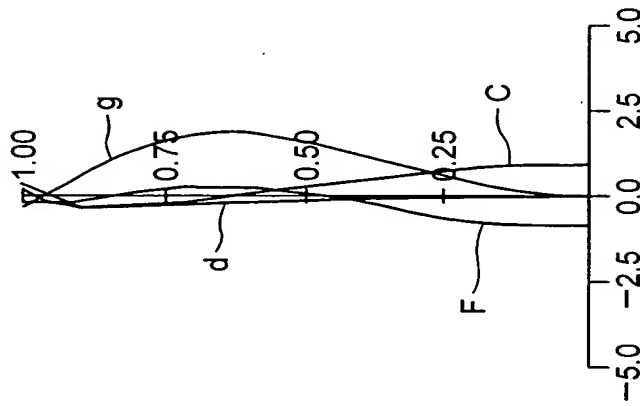
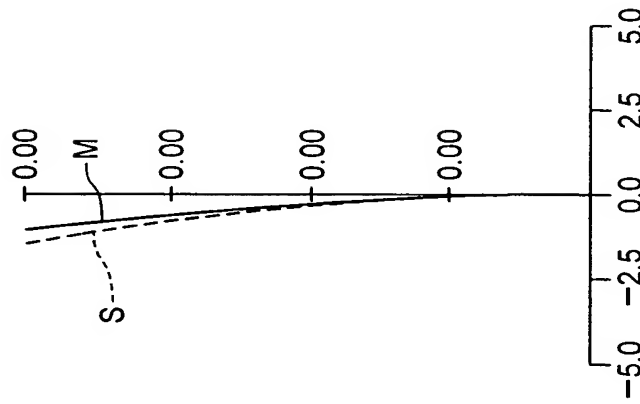


FIG. 16

SPHERICAL
ABERRATION
NA=0.65



ASTIGMATISM
Y=11.0



DISTORTION
Y=11.0

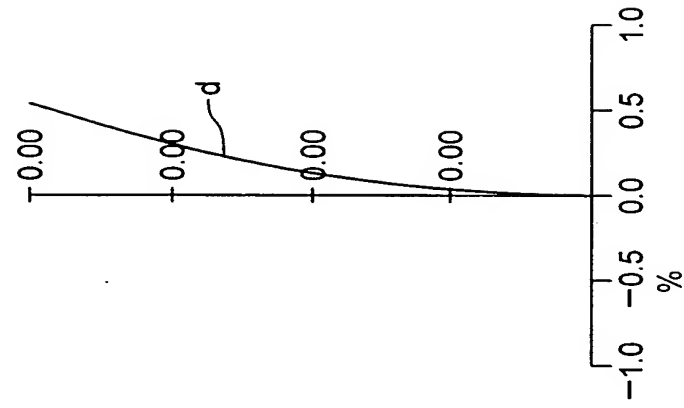


FIG. 17

